

в трехмерные, что приводит к размытию особенностей. Максимальное T_c достигается при L порядка размера локализации волновых функций вдоль оси z , $L_0 \sim a (E_F/V_g)^{1/2}$, где V_g — величина псевдопотенциала. Для олова $L_0 \sim 5a$, откуда из (4) с $C \sim 30$ получим $\delta\lambda \sim 6\lambda_0$, $\lambda_{\max} \sim 5$, и оценка по теории сверхпроводников с сильной связью [8] дает $T_{c\max} \sim 60$ К.

Поскольку мы использовали лишь факт трансляционной инвариантности в плоскости (x, y) , то двойниковую границу можно заменить другим плоским дефектом, например моноатомным слоем чужеродного материала; меняя состав монослоя, можно регулировать положение логарифмических особенностей и надеяться на получение константы C большей, чем в олове с двойниками. Вводя в сверхпроводник моноатомные прослойки на расстоянии $\sim L_0$ друг от друга (создание таких структур в отличие от рассмотренных выше структур с двойниками возможно при современной технологии), можно значительно повысить T_c . Исследование таких структур актуально также ввиду очевидной аналогии с высокотемпературными сверхпроводниками класса La_2CuO_4 ; заметим, что в последних ван-хововские особенности играют существенную роль [9, 10].

Автор признателен А. Ф. Андрееву и И. Н. Хлюстикову за обсуждение.

Л и т е р а т у р а

- [1] Хайкин М. С., Хлюстиков И. Н. Письма в ЖЭТФ, 1981, т. 33, № 4, с. 167—169; 1982, т. 36, № 3, с. 132—134; 1983, т. 38, № 4, с. 191—193.
- [2] Аверин В. В., Буздин А. И., Булаевский Л. Н. ЖЭТФ, 1983, т. 84, № 2, с. 737—746.
- [3] Mc Millan W. L. Phys. Rev., 1968, vol. 167, N 1, p. 331—343.
- [4] Пашицкий Э. А. Материалы 23 Всесоюзного совещания по физике низких температур, 1984, ч. I, с. 182—183.
- [5] Набережных В. П., Селянов Б. И., Фельдман Э. П., Юрченко В. М. Там же, с. 184—185.
- [6] Шковский Б. И., Эфрос А. Л. Электронные свойства легированных полупроводников. М.: Наука, 1979. 326 с.
- [7] Van Hove L. Phys. Rev., 1953, vol. 89, N 3, p. 1189—1198; Либшиц И. М. ЖЭТФ, 1969, т. 38, № 4, с. 1569—1576.
- [8] Allen P. B., Dynes R. G. Phys. Rev. B, 1975, vol. 12, № 3, p. 905—920.
- [9] Jorgersten J. D. et al. Phys. Rev. Lett., 1987, vol. 58, N 10, p. 1024—1027; Mattheiss D. F. Phys. Rev. Lett., 1987, vol. 58, N 10, p. 1028—1031.
- [10] Суслов И. М. Письма в ЖЭТФ, 1987, т. 46, № 10, с. 402—404.

Физический институт
им. П. Н. Лебедева АН СССР
Москва

Поступило в Редакцию
10 декабря 1987 г.

УДК 541.135.4

Физика твердого тела, том 30, в. 5, 1988
Solid State Physics, vol. 30, N 5, 1988

ИОННАЯ ПРОВОДИМОСТЬ И ФАЗОВЫЕ ПЕРЕХОДЫ В $\text{Li}_3\text{In}_2(\text{PO}_4)_3$

C. E. Сигарёв

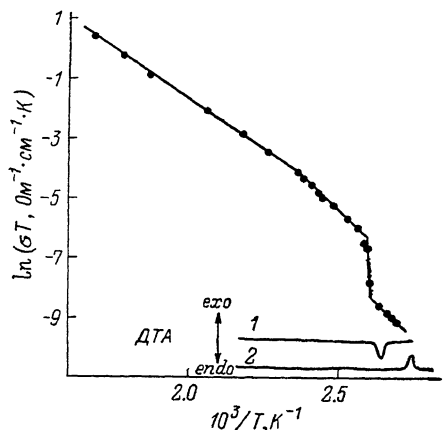
Одним из наиболее интенсивно исследуемых в настоящее время семейств суперионных проводников является группа материалов, отвечающих химической формуле $\text{Li}_3\text{M}_2(\text{PO}_4)_3$ (где $\text{M}=\text{Sc}, \text{Cr}, \text{Fe}$) и обладающих общей особенностью атомного строения — трехмерным смешанным каркасом $[\text{M}_2\text{P}_3\text{O}_{12}]^{3-}$ [1—3]. Величина ионной проводимости σ указанных соединений достигает при $T=573$ К значений $\sim 10^{-2} \Omega^{-1}\text{cm}^{-1}$ с энергией активации ионного транспорта (E_a) $\sim 0.3 \div 0.5$ эВ [2]. Необходимо отметить, что переход в суперионное состояние в рассматриваемых мате-

риалах, как правило, является следствием одного или нескольких структурных фазовых переходов [1-3]. Анализ имеющихся экспериментальных данных свидетельствует о том, что значения параметров и E_a в суперионной фазе, а также температура фазового превращения в состояние с высокой ионной проводимостью (T_c) в кристаллах типа $A_3M_2(PO_4)_3$ существенно зависят от типа катиона M^{3+} [2].

В данной работе исследована температурная зависимость величины ионной проводимости нового соединения $Li_3In_2(PO_4)_3$, принадлежащего к указанному семейству веществ [4, 5].

Все изученные образцы получали по стандартной методике твердофазного синтеза [6]. Полноту протекания химической реакции контролировали с помощью рентгенофазового анализа. Термовые свойства $Li_3In_2(PO_4)_3$ исследовались с использованием дифференциального-термического анализа (ДТА). Для электрофизических измерений образцы приготавливались в виде таблеток (диаметром $6 \pm 12 \cdot 10^{-3}$ м толщиной $(2 \pm 4) \cdot 10^{-3}$ м) с плотностью $\sim 90\%$ от теоретической, рассчитанной по рентгеноструктурным данным [5].

Величину сопротивления (проводимости) $Li_3In_2(PO_4)_3$ определяли из анализа годографов имmittанса электрохимической ячейки $C | Li_3In_2(PO_4)_3 | C$, снятых в диапазоне частот $5 \div 5 \cdot 10^5$ Гц в интервале температур $290 \div 650$ К. Оценка электронной составляющей проводимости



Температурная зависимость ионной проводимости и кривые ДТА (1 — нагрев, 2 — охлаждение) $Li_3In_2(PO_4)_3$.

(σ_{el}) , проведенная с использованием метода Хебба—Вагнера [7], показала, что при $T=600$ К величина $\sigma_{el} \leqslant 0.01 \sigma_{общ}$. Полученный результат свидетельствует о преимущественно ионном характере переноса заряда в исследованном соединении.

На рисунке представлен ход температурной зависимости ионной проводимости $Li_3In_2(PO_4)_3$. Из рисунка видно, что, за исключением температурных интервалов $380 \div 385$ и $420 \div 425$ К, проводимость образцов описывается уравнениями типа уравнения Френкеля

$$\begin{aligned}\sigma T &= 3.88 \cdot 10^6 \exp(-0.78/kT) \quad (T < 380 \text{ К}), \\ \sigma T &= 2.78 \cdot 10^7 \exp(-0.78/kT) \quad (385 \text{ К} < T < 420 \text{ К}), \\ \sigma T &= 1.21 \cdot 10^6 \exp(-0.58/kT) \quad (T > 425 \text{ К}).\end{aligned}$$

Вместе с тем в пределах указанных температурных областей наблюдаются отклонения от линейного хода графика $\sigma(T)$.

Аналогичные аномалии на ходе температурной зависимости σ характерны и для других соединений, относящихся к рассматриваемому семейству веществ (при $T=525$ К для $Li_3Sc_2(PO_4)_3$ [3], при $T_1=514$ К и $T_2=538$ К для $Li_3Fe_2(PO_4)_3$; при $T_1=345$ К, $T_2=535$ К и $T_3=585$ К для $Li_3Cr_2(PO_4)_3$ [2]). Рентгеноструктурные и электрофизические исследования кристаллов $Li_3Sc_2(PO_4)_3$ и $Li_3Fe_2(PO_4)_3$, проведенные в широком диапазоне температур, показали, что нелинейный характер температурной зависимости ионной проводимости наблюдается при структурных фазовых переходах в данных материалах [3, 8, 9]. Логично считать, что и в $Li_3In_2(PO_4)_3$ при $T_1 \sim 382$ К и $T_2 \sim 422$ К происходят структурные фазовые превращения. Подтверждением такого предположения могут служить результаты ДТА. На кривых ДТА $Li_3In_2(PO_4)_3$ (см. рисунок) при $T \sim 375 \div 385$ К регистрируются пики, соответствующие эффектам поглощения (при съемке с повышением температуры образца) или выделения

(в противоположном случае) тепла. Одновременно установлено существование температурного гистерезиса обнаруженного теплового эффекта $\Delta T \sim 8$ К. Указанный факт свидетельствует о том, что фазовый переход при $T \sim 382$ К является фазовым переходом I рода. Интересно отметить, что величина энергии активации ионного транспорта в $\text{Li}_3\text{In}_2(\text{PO}_4)_3$ до и после данного фазового превращения остается неизменной. Это неожиданный результат, поскольку, как правило, фазовые переходы в суперионных проводниках приводят к изменению значений как σ , так и E_a [10].

В области температур $T \sim 422$ К аномалии на кривых ДТА обнаружить не удалось. Следовательно, полученный результат дает основание предположить, что фазовый переход в $\text{Li}_3\text{In}_2(\text{PO}_4)_3$ при $T \sim 422$ К относится либо к фазовым превращениям II рода, либо к «слабым» фазовым переходам I рода и соответствующий тепловой эффект предельно мал. Необходимо отметить, что на различную « силу » рассматриваемых фазовых превращений указывает и то обстоятельство, что изменение величины ионной проводимости $\text{Li}_3\text{In}_2(\text{PO}_4)_3$ при $T \sim 422$ К носит менее кардинальный характер, чем при $T \sim 382$ К (см. рисунок).

Таким образом, проведенные нами исследования свидетельствуют о том, что в области температур $290-650$ К $\text{Li}_3\text{In}_2(\text{PO}_4)_3$ может существовать в трех различных полиморфных модификациях: $\alpha\text{-Li}_3\text{In}_2(\text{PO}_4)_3 \xrightarrow{382 \text{ K}} \beta\text{-Li}_3\text{In}_2(\text{PO}_4)_3 \xrightarrow{422 \text{ K}} \gamma\text{-Li}_3\text{In}_2(\text{PO}_4)_3$. Максимальной величиной ионной проводимости ($\sigma_{573} = 2 \cdot 10^{-3} \Omega^{-1} \text{ см}^{-1}$) обладает $\gamma\text{-Li}_3\text{In}_2(\text{PO}_4)_3$. Изменение температуры фазового перехода $\text{Li}_3\text{In}_2(\text{PO}_4)_3$ в состояние с высокой ионной проводимостью (по сравнению с T_c аналогичных суперионных проводников $\text{Li}_3\text{Sc}_2(\text{PO}_4)_3$, $\text{Li}_3\text{Cr}_2(\text{PO}_4)_3$, $\text{Li}_3\text{Fe}_2(\text{PO}_4)_3$) обусловлено, по-видимому, изменением состава трехмерного смешанного каркаса $[\text{M}_2\text{P}_3\text{O}_{12}]^{3-}$, где в изученном случае $\text{M}^{3+} = \text{In}^{3+}$.

Автор выражает признательность Л. Н. Демьянцу и О. К. Мельникову за помощь, оказанную при проведении твердофазного синтеза образцов, а также А. К. Иванову-Шиц за обсуждение полученных результатов.

Л и т е р а т у р а

- [1] Генкина Е. А., Демьянec Л. Н., Иванов-Шиц А. К. и др. Письма в ЖЭТФ, 1983, т. 38, № 5, с. 257-259.
- [2] d'Yvoire F., Pintard-Screpel M., Bretey E. et al. Sol. St. Ionics, 1983, vol. 10, Pt. 2, p. 851-858.
- [3] Демьянec Л. Н., Иванов-Шиц А. К., Мельников О. К. и др. ФТТ, 1985, т. 27, № 6, с. 1913-1914.
- [4] Генкина Е. А., Мурадян Л. А., Максимов Б. А. и др. Кристаллография, 1987, т. 32, № 1, с. 74-78.
- [5] Tran Qui D., Hamdoune S. Acta Cryst., 1987, vol. C43, N 3, p. 397-399.
- [6] Третьяков Ю. Д. Твердофазные химические реакции. М.: Химия, 1978. 359 с.
- [7] Wagner C. Z. Elektrochem., 1956, Bd 60, S. 4-8.
- [8] Кондратюк И. П., Сирота М. И., Максимов Б. А. и др. Кристаллография, 1986, т. 31, № 3, с. 488-494.
- [9] Кондратюк И. П., Максимов Б. А., Мурадян Л. А. Докл. АН СССР, 1987, т. 292, № 6, с. 1376-1379.
- [10] Физика суперионных проводников / Под ред. М. Б. Саламона. Рига: Зиннатне, 1982. 315 с.

Институт кристаллографии АН СССР
Москва

Поступило в Редакцию
10 декабря 1987 г.